

This Page Is Inserted by IFW Operations  
and is not a part of the Official Record

## **BEST AVAILABLE IMAGES**

Defective images within this document are accurate representation of  
The original documents submitted by the applicant.

Defects in the images may include (but are not limited to):

- BLACK BORDERS
- TEXT CUT OFF AT TOP, BOTTOM OR SIDES
- FADED TEXT
- ILLEGIBLE TEXT
- SKEWED/SLANTED IMAGES
- COLORED PHOTOS
- BLACK OR VERY BLACK AND WHITE DARK PHOTOS
- GRAY SCALE DOCUMENTS

**IMAGES ARE BEST AVAILABLE COPY.**

**As rescanning documents *will not* correct images,  
please do not report the images to the  
Image Problem Mailbox.**



(19) Europäisches Patentamt

European Patent Office

Office européen des brevets



(11) EP 0 758 601 A2

(12)

## EUROPÄISCHE PATENTANMELDUNG

(43) Veröffentlichungstag:  
19.02.1997 Patentblatt 1997/08

(51) Int. Cl. 6: B60T 8/00

(21) Anmeldenummer: 96110701.8

(22) Anmeldetag: 03.07.1996

(84) Benannte Vertragsstaaten:  
DE FR GB IT NL SE

(30) Priorität: 11.08.1995 DE 19529539

(71) Anmelder: MAN Nutzfahrzeuge  
Aktiengesellschaft  
80976 München (DE)

(72) Erfinder:  
• Jung, Christoph, Dipl.-Ing.  
85757 Karlsfeld (DE)  
• Hirschberg, Wolfgang, Dr.  
4400 Steyr- St. Ulrich (AT)

### (54) Verfahren zur ON-BOARD-Ermittlung von fahrdynamischen Sicherheitsreserven von Nutzfahrzeugen

(57) Das erfindungsgemäße Verfahren dient der ~~möglichst genaueren~~ rechnerischen ON-BOARD-Abschätzung von Sicherheitsreserven von Nutzfahrzeugen, ohne Unterbrechung von Fahrzuständen des Nutzfahrzeugs. Aus den fahrzeugdynamischen Werten des Wankwinkels und des dynamischen Korrekturlenkwinkels wird der Reibschlußwert zur Fahrbahn errechnet. Der Beladungszustand, unter Berücksichtigung der fahrzeug-spezifischen Daten, wird aus der Querbeschleunigung und dem Wankwinkel errechnet. Mit weiteren Daten bezüglich Fahrbahngeometrie und Fahrzustand kann eine rechnerische Aussage über das Bremspotential, die Lenkbarkeit und die Sicherheit gegen Umkippen des Fahrzeugs erfolgen. Die Informationen sollen hauptsächlich dem Fahrzeugführer zur Unterstützung seines Verhaltens angeboten werden.

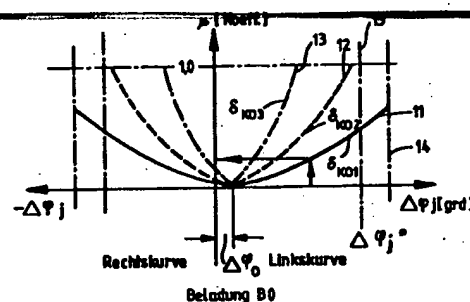


Fig. 1

EP 0 758 601 A2

## Beschreibung

Die Erfindung betrifft ein Verfahren nach dem Oberbegriff des Anspruches 1.

Ein Verfahren dieser Art ist aus der DE 42 00 997 C2 bekannt. Dabei wird der Kraftschlußwert in Längsrichtung und in Querrichtung getrennt aus gemessenen Fahrzeugwerten ermittelt. Aus diesen Werten wird durch vektorielle Kombination der momentane Fahrzustand erfaßt und durch Vergleich mit einer Grenzkurve die tatsächlich vorhandene Sicherheitsreserve ermittelt. Die Grenzkurve ist in einem Rechner abgespeichert und wird affin vergrößert oder verkleinert, je nach dem, ob eine größere Änderung des Reibwertes ermittelt wurde oder nicht. Durch die getrennte Ermittlung der Kraftschlußwerte in Längs- und Querrichtung kann auch eine Aussage über die Fahrsicherheit bei gemischten Fahrzuständen, z. B. einem Bremsen in der Kurve, gemacht werden. Das Verfahren ist für Personenkraftwagen, auch allradgetriebene, geeignet. Der Beladungszustand des Personenkraftwagens wurde nicht berücksichtigt.

Bei weiteren, bekannten Verfahren, wie z. B. in der DE 43 00 481 A1 beschrieben, wird durch ASR und ABS die Durchdrehneigung bzw. Blockierneigung mindestens eines Rades der Reibwert zwischen Rad und Fahrbahn in Längsrichtung ermittelt. Die mögliche

Querbeschleunigung wird daraus abgeleitet. Die Werte sind meistens nicht genügend genau, oftmals, besonders für Kurvenfahrten, nicht verwendbar. Auf den Beladungszustand, was die Masse und deren Schwerpunktlage betrifft wird nicht eingegangen.

Verfahren, wie z. B. in der DE 40 10 507 C1 und der EP 0 345 817 B1 beschrieben, die einen Drehzahlunterschied zwischen einem angetriebenen und einem nicht angetriebenen Rad ermitteln, benutzen den annähernd linearen Bereich der Schlupfkennlinien. Eine Vorhersage über das Kraftschlußpotential im nicht mehr linearen Grenzbereich ist daher nicht möglich bzw. ungenau. Außerdem wird bei diesem Verfahren nur der Reibwert in Radumfangsrichtung ermittelt, Reibwerte quer zur Umlaufrichtung bleiben unberücksichtigt.

Der Erfindung liegt die Aufgabe zugrunde, ein Verfahren der eingangs genannten Art zu schaffen, das möglichst genaue fahrdynamische Werte des Fahrzeuges und weitere Parameter erfaßt, damit dem Fahrer eine wirksame Unterstützung durch Informationen über die momentanen Sicherheitsreserven seines Fahrzeuges angeboten werden können.

Die Aufgabe wird erfindungsgemäß durch die Merkmale des Anspruches 1 gelöst.

Bei dem erfindungsgemäßen Verfahren ist zunächst die Masse der Beladung und ihre Position zu bestimmen, da beides für Nutzfahrzeuge eine wichtige Voraussetzung für die Ermittlung von Sicherheitsreserven ist.

Bei Nutzfahrzeugen führen Querbeschleunigungen zu ausgeprägten Wankbewegungen. Dabei ist es unerheblich, ob diese Querbeschleunigungen von Fliehbe-

schleunigungen aus einer Kurvenfahrt, oder als Folge von schrägen Fahrbahnen über den Anteil der Gravitation kommen. Um diese Erkenntnis auszunutzen, ist es erforderlich, die Wanksteifigkeit für ein bestimmtes Fahrzeug zu kennen. Die Wanksteifigkeit ist u. a. abhängig von der Art und Steifigkeit des Rahmens, von der Federung, von der Anzahl der Achsen und Reifen und der Beladung. Die Ermittlung der Wanksteifigkeit erfolgt vorzugsweise auf einer Kreisfahrt-Versuchsbahn, auf welcher das entsprechende Nutzfahrzeug auf einem bestimmten Kreisradius mit mehreren Geschwindigkeiten gefahren wird. Dieser Vorgang wird mit unterschiedlichen Beladungen von unbeladen bis volle Beladung bei verschiedenen Beladungshöhen durchgeführt. Als Wankwinkel wird vorzugsweise der relative Wankwinkel zwischen Fahrzeugrahmen und mindestens einer Achse, z. B. der j-ten Achse, gemessen. Die Querbeschleunigung wird meßtechnisch erfaßt. Die ermittelten Kurvenscharen der Wanksteifigkeit, die für genau diesen Fahrzeugtyp Gültigkeit haben, werden in einem Rechner abgespeichert und stehen für weitere Berechnungen zur Verfügung. Die Bestimmung des Beladungszustandes erfolgt vorzugsweise bei Beginn einer Fahrt und wird bei dem fahrzeugspezifisch bekannten Nutzfahrzeug durch die Bestimmung der Wanksteifigkeit z.B. bei einer Fahrt in einer Kurve und durch Vergleich mit abgespeicherten Daten, ermittelt.

Unter dem momentan vorliegenden Kraftschluß versteht man den Quotienten zwischen der maximal möglichen Kontaktkraft  $F_{max}$  und der Aufstandskraft  $F_z$ .

Die Kenntnis des fahrzeugspezifischen Verhaltens eines Nutzfahrzeugs ist für die Berechnung des Kraftschlusses und der Sicherheitsreserven im linearen und im nicht linearen Kraftschlußbereich der Reifen wichtig. So unterscheidet sich z. B. ein dreiachsiges Fahrzeug mit einer gelenkten Achse von einem zweiachsigen durch größere Richtungsstabilität in Fahrzeugsängerrichtung und dadurch bei Kurvenfahrten durch den Bedarf eines größeren Lenkeinschlags des Dreiachser-Nutzfahrzeugs.

Wird mit einem Fahrzeug ein Bogen stationär befahren, so setzt sich der Lenkwinkelbedarf aus dem kinematischen Ackermann-Lenkinkel und dem dynamischen Korrekturlenkinkel zusammen: Der Ackermann-Lenkinkel ist ein fester, fahrzeugspezifischer Lenkeinschlag für das querkraftfreie Befahren eines Kreisbogens mit einem festen Radius, d. h., beim Fahren mit sehr kleiner Geschwindigkeit. Der dynamische Korrekturlenkinkel kennzeichnet die Steuertendenz des Fahrzeugs bei zunehmender Querbeschleunigung.

Im beginnenden, nicht linearen Bereich ist bei übersteuernden Fahrzeugen ein geringerer Lenkwinkel und bei untersteuernden Fahrzeugen ein größerer Lenkwinkel zur Einhaltung des Kurses nötig. Dieses Verhalten wird mit der Lenksteifigkeit beschrieben.

In Anlehnung an diese Verhaltensweisen wird bei dem erfindungsgemäßen Verfahren die Relative-Lenk-Wanksteifigkeit dazu benutzt, um den fahrzeugspezifi-

schen Zusammenhang zwischen dem Wankwinkel und dem Korrekturlenkwinkel, bei einer bestimmten Beladung - abhängig vom Reibwert zwischen Rad und Fahrbahn - zu ermitteln. Dazu wird in Fahrversuchen bei einer bestimmten Beladung und bei einer bestimmten Fahrbahn jeweils der relative Wankwinkel und der Korrekturlenkwinkel ermittelt. Diese Messungen werden mit unterschiedlichen Beladungen und unterschiedlichen Fahrbahnbelägen wiederholt. Die ermittelten Kurven der Relativen-Lenk-Wanksteifigkeit werden ebenfalls für die weiteren Berechnungen abgespeichert.

Das Kraftschlußkennfeld wird approximiert und gilt zunächst für eine bestimmte Beladung. Dafür ist das Kraftschlußkennfeld dreidimensional mit den Achsen, Wankwinkel, Korrekturlenkwinkel und Kraftschluß. Im folgenden kommt die Beladung als weiterer Parameter hinzu. Das Kraftschlußkennfeld ist hiermit fahrzeugspezifisch und im Bordrechner des Fahrzeuges abgespeichert.

Zur Ermittlung des momentanen Kraftschlußwertes im Betriebsfall wird wie folgt vorgegangen: Zunächst wird zu Beginn einer Fahrt, z. B. vom Fahrzeugführer veranlaßt oder automatisch der Beladungszustand ermittelt und als bekannt an den Rechner weitergegeben. Zur ON-BOARD-Ermittlung des momentanen Kraftschlußwertes wird mit dem auftretenden Wankwinkel, dem auftretenden Korrekturlenkwinkel und der Beladung als Eingangsgröße aus dem Kraftschlußkennfeld der momentane Kraftschlußwert unmittelbar errechnet. Verringert sich z. B. der vorhandene Kraftschluß zwischen Reifen und Fahrbahn, so äußert sich dieses - bei Beibehaltung von Kurvenradius und Fahrgeschwindigkeit - in einer Erhöhung des Lenkwinkelbedarfs bei untersteuernndem Fahrzeug. Im Falle der Beibehaltung des Lenkwinkels wird das Fahrzeug einen weiteren Bogen fahren, d. h., der Wankwinkel geht zurück.

Da das Wanken eines Nutzfahrzeugs, abhängig vom Fahrzeugtyp und der Beladung, im Sekundenbereich erfolgt, ist die Erfassung des momentanen Kraftschlußwertes auch in diesem Bereich möglich. Ändert sich der Kraftschlußwert sehr schnell, so kann sich der Wankwinkel des Fahrzeuges nicht so schnell ändern. In einem solchen Fahrzustand geben der vorhandene Korrekturlenkwinkel, ob vom Fahrzeugführer korrigiert oder nicht, und der Wankwinkel, nicht das richtige Verhalten des Fahrzeuges wieder. Um diesem Vorgang Rechnung zu tragen und keine Fehlalarme auszulösen, wird die Vorgabe der Änderung des Soll-Wankwinkels dynamisch korrigiert, indem der auftretende Korrekturlenkwinkel mit einem dynamischen Verzögerungsglied beaufschlagt wird, so daß sich die gewünschte, zeitlich verzögerte und dem realen Vorgang angepaßte Änderung des rechnerischen Wankwinkels ergibt. Damit wird eine Anpassung des erwarteten Vorganges an den realen Vorgang erreicht. Zur Einstellung und einer eventuell späteren Prüfung der Funktion wird eine Sprungfunktion des Korrekturlenkwinkels eingegeben. Der Fahrzeugführer wird zwar nicht diese Sprungfunk-

tion des Korrekturlenkwinkels erreichen, aber Reflexbewegungen des Fahrers auf einen plötzlich anderen Kraftschlußwert können sehr schnell sein. So wird auch seitens der möglichen Korrekturlenkwinkel-Änderung den tatsächlichen Verhältnissen Rechnung getragen. Das Maß der dynamischen Korrektur des Wankwinkels muß für jeden Fahrzeugtyp ermittelt und gespeichert werden.

Durch die Kenntnis des ermittelten, momentanen Kraftschlußwertes ist es erfindungsgemäß möglich, mit weiteren variablen Parametern, wie Fahrbahnneigung, Fahrbahnsteigung-/gefälle und dem Fahrzustand, wie Raddrehzahlen, Fahrzeuglängs- und Querbeschleunigungen, durch Vergleich des momentanen Kraftschlußwertes mit einem versuchsmäßig ermittelten Kraftschlußgrenzwert, abhängig von der Fahrbahngeometrie, das Bremspotential bzw. die Lenkbarkeit des Fahrzeuges zu errechnen und/oder anzuzeigen. Ist der momentane Kraftschlußwert größer als der gespeicherte Kraftschlußgrenzwert, so besteht Kippgefahr.

Dieses Verfahren gilt für Solofahrzeuge und für Zugfahrzeuge von Glieder- und Sattelzügen. Bei Sattelzügen ist der Knickwinkel zwischen Auflieger und Zugmaschine und bei Gliederzügen der Winkel zwischen Zugfahrzeug und Anhänger vorteilhaftweise mit einzubeziehen.

In den Zeichnungen ist ein Beispiel für die Durchführung des Verfahrens dargestellt.

Es zeigen:

30 Fig. 1 ein Kraftschlußkennfeld,  
 Fig. 2 ein Wanksteifigkeitskennfeld,  
 35 Fig. 3 ein Diagramm der Lenksteifigkeit von Fahrzeugen,  
 Fig. 4 eine Zeichnung zur Angabe von Wankwinkeln,  
 40 Fig. 5 ein Kennfeld der Relativen-Lenk-Wanksteifigkeit,  
 Fig. 6 ein Diagramm über die Regelung des zeitlichen Aufbaues Wankwinkels,  
 45 Fig. 7 ein Bild über den Berechnungsablauf und  
 Fig. 8 ein Bild über den Regelungsablauf der ON-BOARD-Ermittlung.

Ein Beispiel für das Verfahren der ON-BOARD-Ermittlung von Sicherheitsreserven von Nutzfahrzeugen nach der vorliegenden Erfindung, wird anhand der Fig. 1 bis 9 beschrieben.

Fig. 1 zeigt ein Kraftschlußkennfeld für einen bestimmten Beladungszustand, z. B. unbeladen B0. Das Kraftschlußkennfeld beschreibt den Zusammenhang zwischen den Eingangsgrößen, Korrekturlenkwinkel  $\delta_k$ ,

dem relativen Wankwinkel  $\Delta\phi$  und dem resultierenden Kratschlußwert  $\mu$  in der Form

$$\mu = f(\delta_K, \Delta\phi)$$

für  $B = \text{const.}$

Die Kurven 11, 12, 13 kennzeichnen Fahrzustände für konstante Korrekturlenkinkel und zwar  $\delta_{K01} > \delta_{K02} > \delta_{K03}$ . Die Approximation des Kennfeldes selbst erfolgt aus dem durch Messungen ermittelten Kennfeld der Relativen-Lenk-Wanksteifigkeit, Fig. 5, mit der

$$\text{Beziehung } \delta_K = g(\mu, \Delta\phi).$$

Dieser Zusammenhang ist insbesondere meßtechnisch gut machbar, z. B. durch Meßfahrten auf einer Kreisfahrt-Versuchsbahn, welche ringförmig unterschiedliche Beläge bekannten Reibwertes aufweist.

Aus Fig. 1 ist auslesbar z. B., daß bei Vorliegen eines bestimmten Wankwinkels bei zunehmendem Korrekturlenkinkel offensichtlich ein Verlust an Kraftschluß vorliegt. Das heißt, daß bei Kurve 11 ein großer Korrekturlenkinkel  $\delta_{K01}$  bei kleinem Kraftschlußwert  $\mu$  (Eis), bei Kurve 12 ein mittlerer Korrekturlenkinkel  $\delta_{K02}$  bei mittlerem Kraftschlußwert  $\mu$  (Schotterstraße), bei Kurve 13 ein kleiner Korrekturlenkinkel  $\delta_{K03}$ , bei hohem Kraftschlußwert  $\mu$  (trockener Asphalt) vorliegt. Die Kurvenschar muß nicht zwangsläufig durch den Nullpunkt gehen, da eine bleibende Wankabweichung  $\Delta\phi_0$  sich durch einseitige Beladung einstellen kann. Die Grenzwertfläche rechts der Grenzwertlinie 14 bewegt sich im Bereich von  $5^\circ$  bis  $7^\circ$  (grd) und ist hauptsächlich vom Nutzfahrzeugtyp abhängig. Wird die Grenzwertlinie 14 bei ebener Fahrbahn überschritten, so rutscht das Fahrzeug bei niedrigen Kraftschlußwerten  $\mu$ , Kurve 11, bei hohen Kraftschlußwerten  $\mu$ , Kurve 13, kippt das Fahrzeug.

Fig. 2 zeigt ein Wanksteifigkeitskennfeld, aus dem der Beladungszustand, abhängig von der Querbeschleunigung und dem relativen Wankwinkel  $\Delta\phi$ , hervorgeht. Das Kennfeld wird auf Kreisbahnen in Fahrversuchen ermittelt und gilt für einen Fahrzeugtyp. Die Kurve 21 beschreibt ein nicht beladenes, die Kurve 22 ein teilbeladenes und die Kurve 23 ein vollbeladenes Fahrzeug. Der Beladungszustand, der sich zusammensetzt aus der Eigenmasse des Fahrzeugs mit seinem Schwerpunkt und den zusätzlichen Nutzlasten mit seinen Schwerpunkten, die auf dem Fahrzeug aufgeladen sind, kann mit

$$m_0 h_0^2 + m_N h_N^2 = m_{\text{ges}} h_{\text{res}}^2$$

z. B. für ein teilbeladenes Fahrzeug, ausgedrückt werden, womit ein Zusammenhang zwischen der Gesamtlast  $m_{\text{ges}}$  und einer resultierenden Schwerpunktlage  $h_{\text{res}}$  hergestellt ist. Bei einem bestimmten Fahrzeug ist das Eigengewicht  $m_0$  und sein Schwerpunktabstand  $h_0$ , z. B. zur Straße, immer gleich. Damit kann der Ausdruck  $m_0 h_0^2$  als bekannt und unverändernd gespeichert wer-

den. Zusätzliche Lasten und deren Schwerpunkte können durch Vergleich mit gespeicherten Daten ermittelt werden. So wird, vorzugsweise in einer Kurve, die dabei gemessene Querbeschleunigung  $a_y$  und der gemessene relative Wankwinkel  $\Delta\phi$  mit den gespeicherten Daten verglichen. Daraus ergibt sich der Beladungszustand, welcher aus Masse und Schwerpunktlage des Gesamtfahrzeugs besteht. Der Fahrzeugführer kann den Zeitpunkt der Messung bestimmen, vorzugsweise erfolgt dies automatisiert. Die Meßdauer ist im Sekundenbereich und wird, nach Erfassung der Werte, automatisch beendet.

Fig. 3 zeigt ein Diagramm der bekannten Lenksteifigkeit von Fahrzeugen in einer Kurvenbahn. Die Gerade 31 zeigt den Ackermann-Lenkinkel  $\delta_A$ , der zum Einhalten einer bestimmten Kurvenbahn erforderlich ist. Dies gilt allerdings nur nahe der Geschwindigkeit 0. Die Kurve 32 zeigt den tatsächlich erforderlichen Lenkinkel  $\delta$  (grd) im linearen Kraftschlußbereich. Der Abstand 33 ist der dynamische Korrekturlenkinkel. Die Kurven 35 und 36 zeigen das Fahrverhalten eines Fahrzeugs im nichtlinearen Kraftschlußbereich, wobei die Kurve 35 für ein untersteuerndes und die Kurve 36 für ein übersteuerndes Fahrzeug gilt. Die bei der Kurvenfahrt resultierenden Raddrehzahldifferenzen können zur näherungsweisen Ermittlung des momentane Kurvenradius  $R$  verwendet werden und in der Folge mit den Geometriedaten des Fahrzeugs, wie z.B. Spurbreite und Radstand, zur Ermittlung des Ackermann-Lenkinkels  $\delta_A$  herangezogen werden.

Fig. 4 zeigt eine Zeichnung zur Angabe von Wankwinkeln. Die Wankneigung des Aufbaus bzw. des Fahrzeugrahmens 43 gegenüber der Fahrbahn 44 ist der absolute Wankwinkel  $\phi$ , 42, und die Wankneigung des Fahrzeugrahmens 43 gegenüber einer Fahrzeugachse 45 ist der relative Wankwinkel  $\Delta\phi$ , 41, zur j-ten Fahrzeugachse 45.

Fig. 5 zeigt ein Kennfeld der Relativen-Lenk-Wanksteifigkeit. Zur Approximation des Kraftschlußkennfeldes werden vorzugsweise nach der Relativen-Lenk-Wanksteifigkeit die Werte relativer Wankwinkel  $\Delta\phi$  und dynamischer Korrekturlenkinkel  $\delta_K$ , abhängig vom Fahrzeuggewicht und dem Kraftschlußwert ermittelt und gespeichert. Die Kurve 52 betrifft beispielhaft ein leeres Nutzfahrzeug bei niedrigem Kraftschlußwert  $\mu_L$ , die Kurve 51 dasselbe leere Nutzfahrzeuge bei hohem Kraftschlußwert  $\mu_H$ . Die Kurve 54 betrifft dasselbe Nutzfahrzeug mit einer bestimmten Beladung  $B_1$  und dem gleichen niedrigen Kraftschlußwert  $\mu_L$ , wie bei Kurve 52 und die Kurve 53 betrifft dasselbe Fahrzeug mit derselben Beladung  $B_1$  und dem gleichen hohen Kraftschlußwert  $\mu_H$ , wie bei Kurve 51. Das Kennfeld kann auf einer Kreisfahrt-Versuchsbahn mit mehreren ringförmig angeordneten Fahrstreifen unterschiedlicher Fahrbahnbeläge ermittelt werden. Die Kurvenschar muß nicht zwangsläufig durch den Nullpunkt gehen, sie kann auch versetzt um den Winkel  $\Delta\phi_0$  Betrag 55, die Abszisse kreuzen.

Fig. 6 zeigt den zeitlichen Aufbau des Wankwinkels

$\phi(t)$ . Während sich der Kraftschluß  $\mu$  schlagartig ändern kann, z. B. durch unterschiedliche Fahrbahnbeläge, so kann der Wankwinkel  $\phi$  des Nutzfahrzeugs trägeheitsbedingt nur verzögert folgen. Damit die Reaktionen des Fahrzeugführers realitätsnah bewertet werden, ist es nötig, ein reales Wankverhalten des Fahrzeugs vorzugeben, um den zeitlichen Aufbau des Wankwinkels  $\phi(t)$  zu berücksichtigen. Der verzögerte Aufbau des Wankwinkels  $\phi(t)$  des Fahrzeugs wird durch die Kurve 62 beschrieben, die sich zeitlich einpendelt auf den statio-nären Wankwinkel 63. Die dazu nötige Änderung des Lenkwinkels  $\delta_{Spr.}$ , Kurve 61, ist die programmierte Lenkwinkeländerung als Eingangsgröße, die so verzögert wird, daß sich die Kurve 62, Aufbau des Wankwinkels  $\phi(t)$  ergibt. Die Eingabe der Kurve 61 in den Rechner in dieser Form hat neben der realitätsnahen Reaktion durch den Fahrer, auch den Vorteil, daß die Eingabe einheitlich und das Regelverhalten jederzeit überprüfbar ist.

Fig. 7 zeigt ein Bild über den Berechnungsablauf zur Berechnung von Sicherheitsreserven. Berücksichtigt werden fahrzeugspezifischen Daten 71, variable Parameter 72, der Fahrzustand 73, Kriterien 74 des Fahrbahnkraftschlusses und der Fahrbahngeometrie. Aus diesen Werten wird das Bremspotential 76, die Lenkbarkeit 77 und die Sicherheit 78 gegen das Umkippen des Nutzfahrzeugs ermittelt.

Fig. 8 zeigt ein Bild über die ON-BOARD-Ermittlung des Kraftschlusses  $\mu$  und seiner Bewertung. Eingangsgrößen sind zunächst der Lenkwinkel  $\delta$ , die Raddrehzahlen  $\omega_i$  und der Relative-Wankwinkel. Aus den Raddrehzahldifferenzen  $\Delta\omega_i$  wird der Ackermann-Lenk-winkel  $\delta_A$  gemäß 82 berechnet, der mit dem absoluten Lenkwinkel  $\delta$  den Korrekturlenkinkel  $\delta_K$  ergibt. Um den trägeheitsbedingt verzögerten Aufbau des Wankwinkels  $\Delta\phi$  zu kompensieren, bedarf es eines Verzögerungsgliedes 81 für den Lenkwinkel  $\delta$ . Die zuvor identifizierte Beladung  $BX$  bzw.  $m_{ges}$  bildet eine weitere Eingangsgröße in den Prozeßblock 83 zur Bestimmung des aktuellen Kraftschlußwertes  $\mu$ , gemäß 84. In Kenntnis des aktuellen Kraftschlußwertes  $\mu$  können in der Folge geeignete Bewertungsstrategien abgeleitet werden. Im Prozeßblock 85 werden z. B. der aktuelle Kraftschlußwert  $\mu$  mit dem Grenzkraftschlußwert  $\mu^*$  verglichen, oder der aktuelle Wankwinkel  $\phi$  mit dem definierten Grenzwinkel  $\phi^*$ . Die Auswertung selbst erfolgt auf der Grundlage der in Fig. 7 dargestellten Zusammenhänge. Insbesondere lassen sich die gewonnenen Ergebnisse entweder in der Form sichtbarer, hörbarer oder spürbarer Informationen als Fahrerwarnung, gemäß 86 als „Open Loop“ - oder direkt zum weiteren aktiven Eingriff in das Fahrzeugsystem gemäß 87 als „Closed Loop“ -Lösung umsetzen.

#### Patentansprüche

1. Verfahren zur ON-BOARD-Ermittlung von fahrdynamischen Sicherheitsreserven von Nutzfahrzeugen, dadurch gekennzeichnet, daß der Kraftschluß

( $\mu$ ) zwischen Rädern und Fahrbahn eines definierten Nutzfahrzeuges (71) in einem beliebigen bekannten Beladungszustand mittels eines gemessenen Wankwinkels ( $\phi$ ) und eines gemessenen Korrekturlenkinkels ( $\delta_K$ ) durch Vergleich mit entsprechenden, im Testversuch gemessenen und in einem Rechner abgespeicherten Daten ermittelt wird.

- 5 2. Verfahren nach Anspruch 1, dadurch gekennzeichnet, daß der relative Wankwinkel ( $\Delta\phi$ ) zwischen mindestens einer Fahrzeugachse (45) und dem Aufbau (43) als Bewertungskriterium verwendet wird.
- 15 3. Verfahren nach Anspruch 1, dadurch gekennzeichnet, daß der Beladungszustand (B) aus einer gemessenen Querbeschleunigung ( $a_y$ ) und einem gemessenen Wankwinkel ( $\phi$ ) und durch Vergleich von entsprechenden, im Testversuch gemessenen und in einem Rechner abgespeicherten Daten ermittelt wird.
- 20 4. Verfahren nach Anspruch 1, dadurch gekennzeichnet, daß erforderliche Korrekturlenkinkel ( $\delta_K$ ) aus bekannten Wankwinkeln ( $\phi$ ) und bekannten Kraftschlußwerten ( $\mu$ ) aus Fahrversuchen ermittelt und abgespeichert sind.
- 25 5. Verfahren nach einem oder mehreren der vorhergehenden Ansprüche, dadurch gekennzeichnet, daß rechnerisch ein dynamisch korrigierter Aufbau des Wankwinkels  $\phi(t)$  nach vorgegebenem Verhalten (61, 62, 63) so durchgeführt wird, daß sich eine annähernde Übereinstimmung des erwarteten, rechnerisch ermittelten Vorganges mit dem realen Vorgang ergibt.
- 30 6. Verfahren nach einem oder mehreren der Ansprüche 1 bis 5, dadurch gekennzeichnet, daß die gemessenen Werte mit fahrzeugspezifischen Daten (71), weiteren variablen Parametern (72) und dem Fahrzustand (73) rechnerisch miteinander verbunden und mit Grenzwerten ( $\mu, \mu^*, \delta, \delta^*, \beta, \beta^*, R, R^*$ ) verglichen und daraus die fahrdynamischen Sicherheitsreserven für das Bremsen (76), die Lenkbarkeit (77) und gegen das Umkippen (78) des Nutzfahrzeugs ermittelt werden.
- 35 40 7. Verfahren nach Anspruch 6, dadurch gekennzeichnet, daß die fahrdynamischen Sicherheitsreserven des Nutzfahrzeugs für den Fahrer sichtbar, hörbar oder spürbar dargestellt werden.
- 45 8. Verfahren nach Anspruch 6, dadurch gekennzeichnet, daß bei Beginn kritischer Fahrzustände automatisch Eingriffe in das Fahrzeugsystem des Nutzfahrzeugs durchgeführt werden.

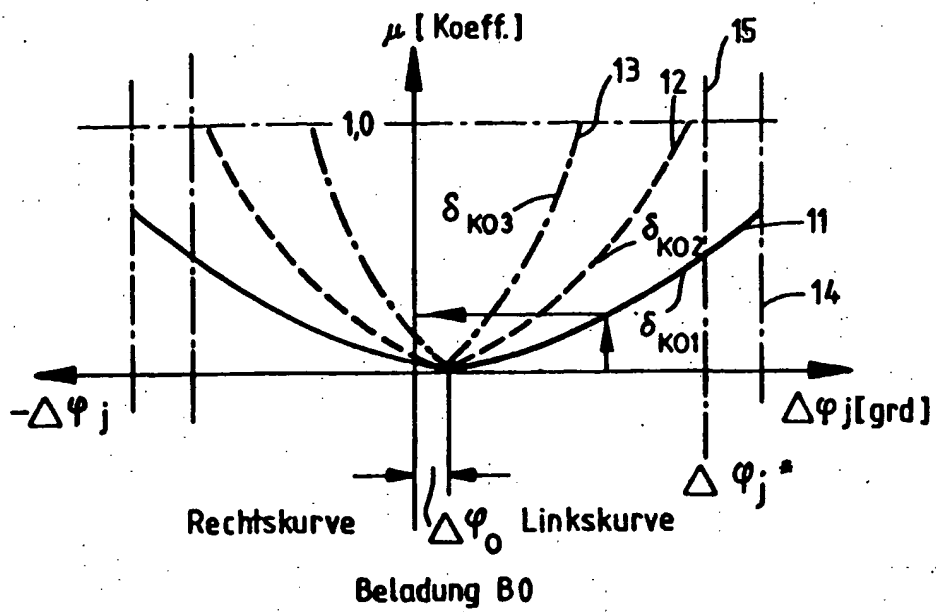
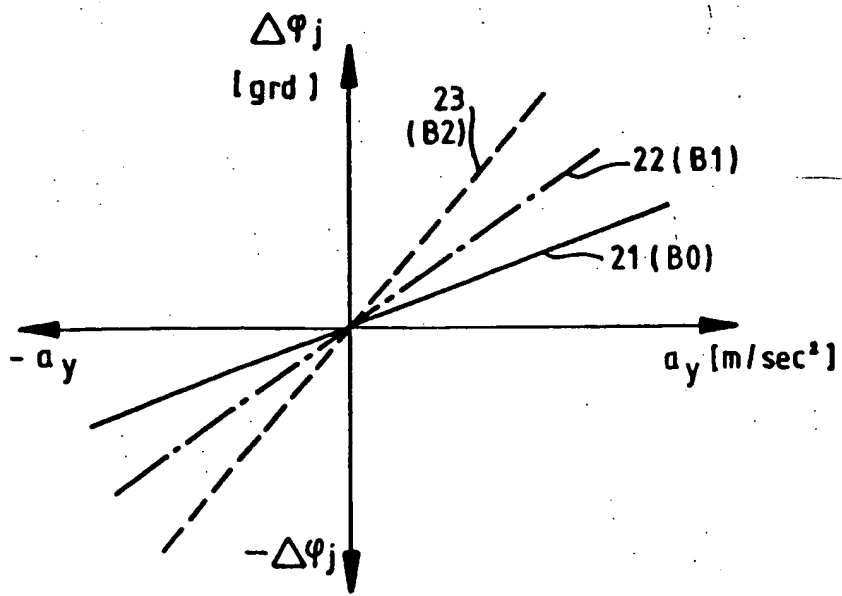
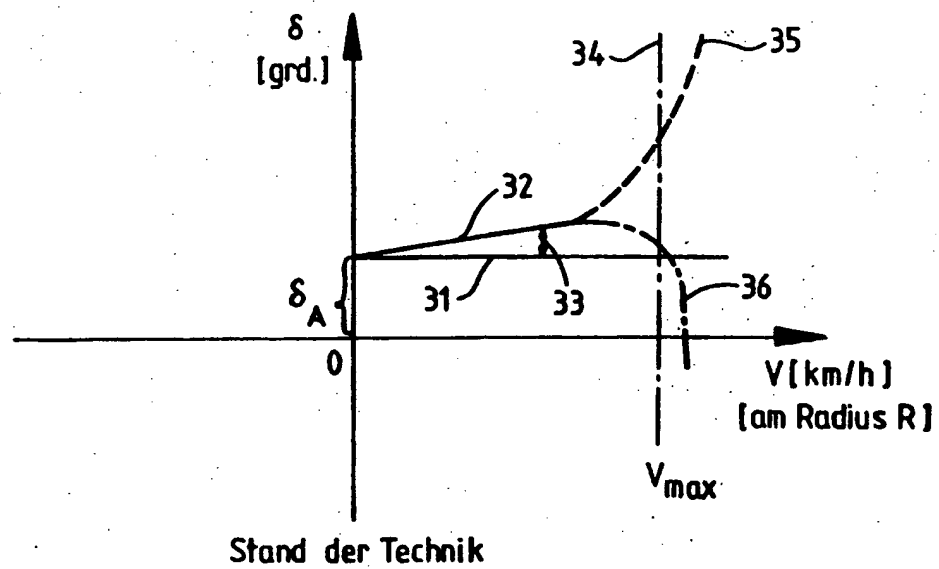


Fig. 1

Fig. 2

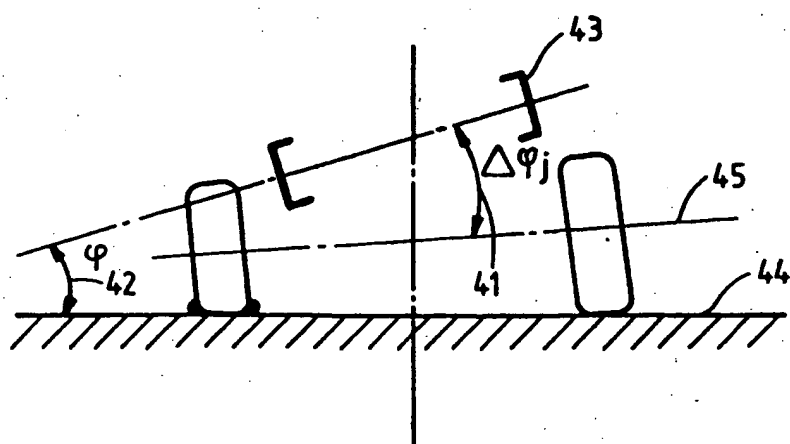




Stand der Technik

Fig. 3

Fig. 4



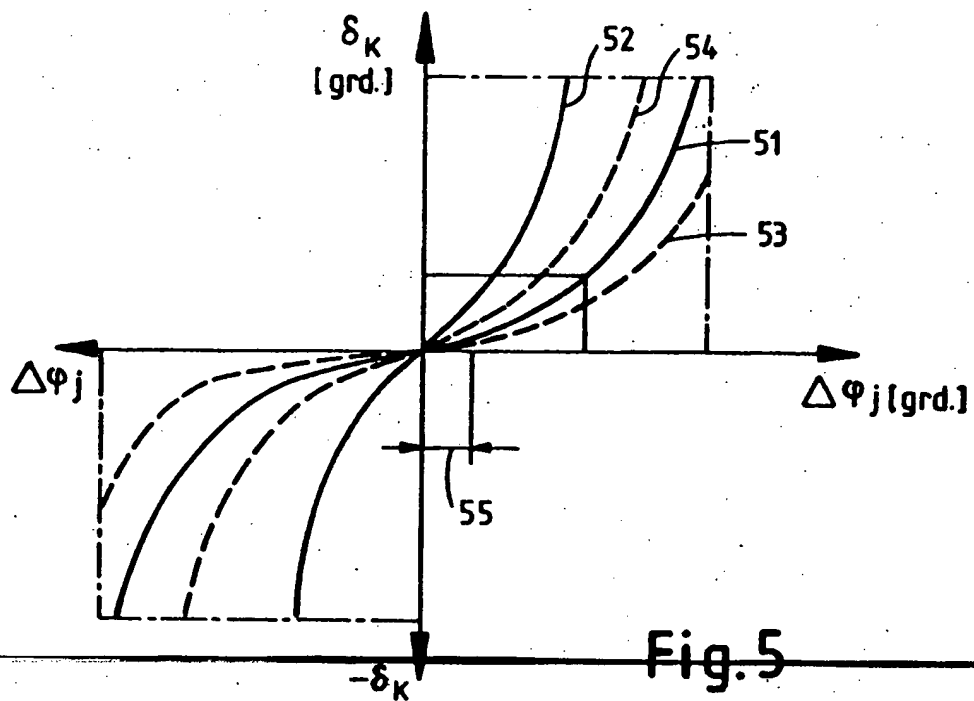
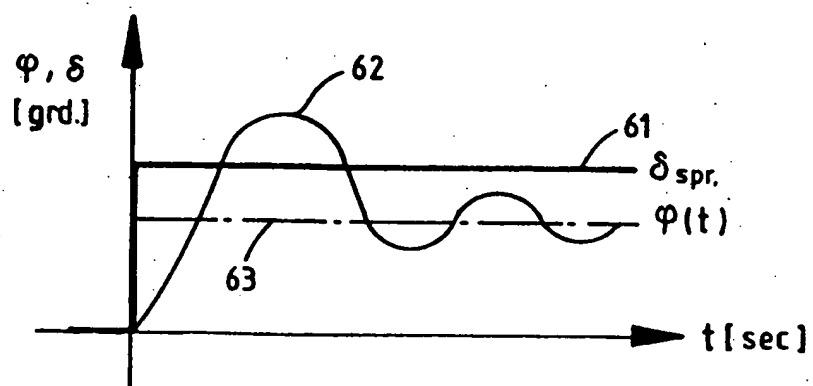
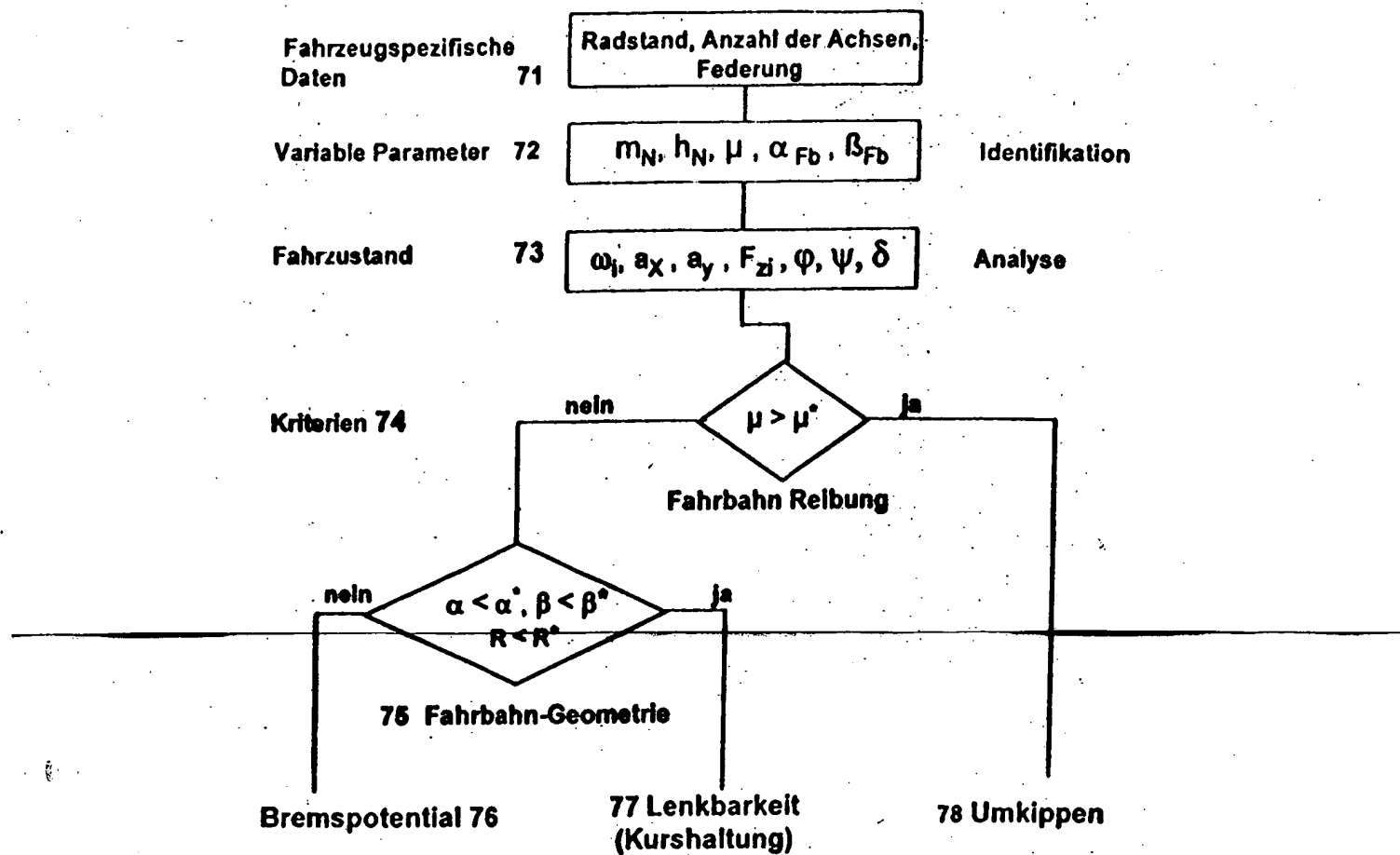


Fig. 5

Fig. 6





## Legende

Nutzlastmasse	$m_N$
Schwerpunktshöhe Nutzlast	$h_N$
Fahrbahnkraftschluß	$\mu$
Fahrbahnneigung	$\alpha_{Fb}$
Fahrbahnsteigung, -gefälle	$\beta_{Fb}$
Raddrehgeschwindigkeit	$\omega_i, i = 1, 2 \dots N_R$
Fahrzeugbeschleunigungen	$a_x, a_y$
dynamische Radlasten	$F_{zi}, i = 1, 2 \dots N_R$
Wankwinkel	$\varphi$
Giergeschwindigkeit	$\psi$
Lenkwinkel	$\delta$

Fig.7

